



ИНСТИТУТ ЯДЕРНОЙ ФИЗИКИ СО АН СССР

24

Д.Л. Шепелянский

КВАНТОВАЯ ЛОКАЛИЗАЦИЯ
ДИНАМИЧЕСКОГО ХАОСА

ПРЕПРИНТ 85-112



НОВОСИБИРСК

КВАНТОВАЯ ЛОКАЛИЗАЦИЯ ДИНАМИЧЕСКОГО ХАОСА

Д.Л.Шепелянский

А Н Н О Т А Ц И Я

Предложен динамический подход к задаче квантового ограничения хаоса, играющего существенную роль при возбуждении многоуровневых систем сильным полем. Получено выражение для длины локализации собственных функций квазиэнергии через классическую скорость диффузии: $\ell = D/2$. Разработан численный метод определения ℓ в одномерных системах. Обсуждается возможность использования такого подхода для задач одномерной локализации Андерсона в твердом теле.

1. Введение

В последние годы значительно возрос интерес к диффузионному возбуждению атомов и молекул сильным монохроматическим полем (см., например, [1-6]). Возникновение диффузии в отсутствие внешних случайных сил обусловлено хаотической динамикой соответствующей классической системы. К настоящему времени явление динамического хаоса в классических системах достаточно хорошо изучено и в основном понято [7-9]. Вместе с тем исследование простых моделей показало, что динамика квантовых систем стохастических в классическом пределе обладает рядом особенностей (см., например, [8, 10-12]), из которых наиболее интересной является эффект квантового ограничения диффузии [10, 11, 13]. Примером физической системы, в которой этот эффект играет существенную роль, является высоковозбужденный атом водорода в монохроматическом поле [14, 15]. В работах [16] была установлена аналогия между явлением квантового ограничения диффузии и локализацией Андерсона в твердом теле [17]. Поэтому исследование этого явления может представлять определенный интерес и для задач локализации в неупорядоченных системах [18].

В настоящей работе на примере простых моделей с периодическим возмущением исследуется локализация собственных функций квазиэнергии (определение СКЭ дано в [19]), приводящая к квантовому ограничению диффузии. Разработан динамический подход, при котором локализация в квантовой системе определяется динамикой некоторой гамильтоновой системы с многими степенями свободы. На основе этого подхода предложен численный метод нахождения длины локализации ℓ . В квазиклассической области $\ell \gg 1$ получено простое выражение для длины локализации через скорость классической диффузии: $\ell = D/2$, которое удовлетворительно согласуется с данными численных экспериментов. Исследован случай неоднородной локализации, имеющей место в области критического значения параметра стохастичности. В качестве примера приложения к задачам локализации в твердом теле рассмотрена модель Ллойда с многими соседями.

2. Модель

Для исследования динамики квантовых систем стохастических в классическом пределе выберем модель обобщенного ротатора с

гамильтонианом:

$$\hat{H} = H_0(\hat{n}) + V(\theta) \delta_T(t) \quad (1)$$

где $\hat{n} = -i \frac{\partial}{\partial \theta}$, $\delta_T(t)$ - периодическая δ -функция, θ - фаза в интервале $[0, 2\pi]$, $V(\theta)$ - внешнее возмущение, H_0 - безразмерно, $\hbar = 1$ [10, 11, 13, 16]. Здесь $H_0(n)$ задает энергии невозмущенных уровней n . Динамика соответствующей классической системы определяется уравнениями движения с гамильтонианом (1), где n, θ - классические сопряженные переменные действие-фаза. После интегрирования на периоде T получаем отображение:

$$\bar{n} = n - \frac{\partial V}{\partial \theta} \quad (2)$$

$$\bar{\theta} = \theta + T \frac{\partial H_0(\bar{n})}{\partial \bar{n}}$$

где $\bar{n}, \bar{\theta}$ - значения переменных n, θ через период. При достаточно сильном возмущении происходит перекрытие резонансов [7], что приводит к диффузионному росту действия $\langle (\Delta n)^2 \rangle = D\tau$, где τ - число периодов. Скорость диффузии D , вообще говоря, сложным образом зависит от параметров системы. Однако, в области развитого хаоса фазы $\theta(\tau)$ независимы и равновероятно распределены в интервале $[0, 2\pi]$, что позволяет использовать для вычисления D квазилинейное приближение [9]. В этом случае скорость диффузии равна

$$D_{ql} = \frac{1}{2\pi} \int_0^{2\pi} \left(\frac{\partial V}{\partial \theta} \right)^2 d\theta \quad (3)$$

Условия применимости квазиклассического приближения для системы (1) заключаются в том, чтобы за один период возмущения возбуждалось большое число уровней $D \gg 1$, а также чтобы безразмерный параметр $T \ll 1$ ($T \propto \hbar$) [8, 10, 11, 13].

Наиболее исследованной моделью с гамильтонианом (1) является квантовое стандартное отображение:

$$\hat{H} = \frac{\hat{n}^2}{2} + k \cos \theta \delta_T(t) \quad (4)$$

Динамика соответствующей классической системы задается стандартным отображением [7-9]:

$$\bar{p} = p + K \sin \theta \quad (5)$$

$$\bar{\theta} = \theta + \bar{p}$$

где $p = Tn$, $K = kT$. При $K \leq K_{cr} = 0,9716\dots$ [20] изменение Δn ограничено $|\Delta n| \leq \sqrt{k/T}$, а при $K > K_{cr}$ $(\Delta n)^2$ растет по диффузионному закону со скоростью $D = D_0(K)/T^2$, где $D_0(K)$ - скорость диффузии по p в стандартном отображении (5). В единой хаотической компоненте зависимость скорости диффузии от параметра стохастичности K приближенно описывается следующим выражением:

$$D_0 \approx \begin{cases} \frac{K^2}{2} [1 + 2J_2(K) + 2J_2^2(K)], & K > 4.5 \\ 0.3(\Delta K)^3, & K < 4.5 \end{cases} \quad (6)$$

где $J_2(K)$ - функция Бесселя, $\Delta K = K - K_{cr}$. При $K \geq 4,5$ зависимость $D_0(K)$ имеет вид осцилляций, затухающих с ростом K [21, 22]. Предельное значение $D_0 = K^2/2$ соответствует квазилинейному приближению (3), когда фазы $\theta(\tau)$ в (5) случайны и независимы. При $K \rightarrow K_{cr}$ в (6) использована эмпирическая формула, полученная из численных экспериментов [13]. Значение показателя $\eta \approx 3$ в степенной зависимости $D_0 \propto (\Delta K)^\eta$ близко к теоретическому значению [23, 24]. Аналогичные численные результаты были получены в [25].

Численные эксперименты с квантовым стандартным отображением (4) [10, 11, 13, 16, 26-28] показали, что с течением времени диффузионный рост $\langle n^2 \rangle$ останавливается, т.е. под действием поля эффективно возбуждается конечное число уровней ($\Delta n \sim \ell$). Аналогичный результат был получен для предложенной в [16] псевдослучайной модели Ллойда с $V(\theta) = 2 \arctg(E - 2k \cos \theta)$ [29]. Естественная интерпретация такого квантового ограничения диффузии связана с локализацией СФКЭ, которая аналогична локализации Андерсона в одномерной детерминированной (неслучайной) решетке [16, 13, 30]. В работах [11, 13] была получена теоретическая оценка для числа возбужденных уровней и длины локализации

$(\Delta n \sim \ell)$:

$$\ell = \alpha D \sim \Delta n \sim \tau_D \quad (7)$$

где α — неизвестная числовая константа. Вывод соотношения (7) основан на следующих соображениях. Пусть одно невозмущенное состояние разлагается на ℓ истинных СФКЭ. Тогда одно СФКЭ представляется в виде суперпозиции ℓ невозмущенных состояний. Так как квазиэнергии распределены на интервале $[0, 2\pi]$, то среднее расстояние между ними $\Delta\omega \sim 1/\ell$. Диффузия будет продолжаться только в течение конечного времени τ_D пока не проявится дискретность спектра. Согласно соотношению неопределенности $\tau_D \sim 1/\Delta\omega \sim \ell$. За это время диффузионно возбудится число уровней $\Delta n \sim (D\tau_D)^{1/2} \sim \ell$. Откуда и получаем соотношение (7). При этом условие его применимости $D \gg 1$. В случае d -мерной невозмущенной системы условие квантового ограничения хаоса имеет вид

$$\tau_D \gtrsim [D_1 \dots D_d]^{1/2} \tau_D^{d/2} \quad (8)$$

В разделе 5 этот критерий будет использован для нахождения условий локализации в трехмерной модели Ллойда. Косвенное определение длины локализации по стационарному распределению в невозмущенном базисе в численных экспериментах для квантового стандартного отображения [13] и высоковозбужденного атома водорода в монохроматическом поле [15] подтвердило правильность соотношения (7).

3. Локализация собственных функций квазиэнергии

Рассмотрим уравнение, которому удовлетворяет СФКЭ с квазиэнергией ω [16]:

$$\begin{aligned} u_n^- &= e^{i(\omega - \pi N_0(n))} u_n^+ \\ u^+(\theta) &= e^{-iV(\theta)} u^-(\theta) \end{aligned} \quad (9)$$

Здесь $u^\pm(\theta)$ значения функции до и после действия возмущения, u_n^\pm — фурье-компоненты $u^\pm(\theta)$. Введем $\bar{u} = e^{iV/2} u^+$,

где g — произвольная функция θ . Тогда из (9) следует

$$\sum_r \bar{u}_{n+r} (W_{-r}^- - e^{-i2\chi_n} W_{-r}^+) = 0 \quad (10)$$

где $W^\pm(\theta) = e^{\pm iV/2} g(\theta) = \sum_r W_r^\pm e^{ir\theta}$, $\chi_n = (\omega - \pi N_0(n))/2$. В дальнейшем будем рассматривать случай, когда g действительно, а $W^\pm(\theta)$ — четная функция θ . Тогда $W_r^+ = W_{-r}^{+*}$, $W_r^- = W_r e^{i\varphi_r} = W_{-r}^-$. С учетом этих соотношений из (10) получаем

$$\sum_r \bar{u}_{n+r} W_r \sin(\chi_n + \varphi_r) = 0 \quad (11)$$

Отметим, что выбор $g(\theta)$ произволен и не влияет на локализацию в исходной модели (9). В [16] было неявно принято $g = 1/\cos V/2$. Такой выбор привел к возникновению нефизической особенности для потенциалов с $V(\theta) \geq \pi$. Так для модели (4) при значениях параметра $k \geq \pi$ в (11) матричные элементы взаимодействия W_r не убывали с r . На самом деле в этой модели удобно положить $g = 1$, что приводит к конечному эффективному числу взаимодействующих соседей.

Уравнение (11) может быть представлено в виде $\hat{W}\bar{u} = E\bar{u}$:

$$E_n u_n + \sum_{m \neq n} W_{nm} u_m = E u_n \quad (11a)$$

где $E_n = W_0 \cos \varphi_0 \operatorname{tg} \chi_n$, $E = -W_0 \sin \varphi_0$,
 $W_{nm} = W_{m-n} \sin \varphi_{m-n} + \operatorname{tg} \chi_n W_{m-n} \cos \varphi_{m-n}$.

Следует, однако, отметить, что оператор \hat{W} оказывается вообще говоря, неэрмитовым (если $W_{m-n} \cos \varphi_{m-n} \neq 0$). Тем не менее задача на собственные значения квазиэнергии (9) может быть сведена к виду (11a) с эрмитовым гамильтонианом \hat{W} . Для этого преобразуем первое уравнение (9) к виду $\hat{D}(u^+ + u^-) - i(u^+ - u^-) = 0$, где в n представлении $D_n = \operatorname{tg} \chi_n$ — диагональная матрица. Умножив второе уравнение в (9) на произвольный оператор G^{-1} и вводя $\bar{u} = \hat{G}^{-1} e^{iV/2} u^+ = \hat{G}^{-1} e^{-iV/2} u^-$ получим

$$[\hat{D}(e^{iV/2} + e^{-iV/2})G + i(e^{iV/2} - e^{-iV/2})G]\bar{u} = 0$$

Умножив слева на $\hat{G}^+(e^{i\frac{\hat{V}}{2}} + e^{-i\frac{\hat{V}}{2}})$ приходим к гамильтоновой форме уравнения (IIa) ($\hat{W}^+ = \hat{W}$)

$$\hat{W}\bar{u} = [\hat{G}^+ \cos \frac{\hat{V}}{2} \hat{D} \cos \frac{\hat{V}}{2} \hat{G} - \hat{G}^+ \sin \frac{\hat{V}}{2} \cos \frac{\hat{V}}{2} \hat{G}] \bar{u} = 0 \quad (\text{IIб})$$

В том случае, когда $[G, V] = 0$ и $G^+ = G$ (IIб) записывается в виде

$$\sum_m \left[\sum_{n_1} (W_{n-n_1} \cos \varphi_{n-n_1} \text{tg } \chi_{n_1} W_{n_1-m} \cos \varphi_{n-m}) \bar{u}_m + \right. \\ \left. + \sum_{m \neq n} \left[\sum_{n_1} W_{n-n_1} \cos \varphi_{n-n_1} \sin \varphi_{n_1-n} W_{n_1-m} \right] \bar{u}_m \right] = E \bar{u}_n, \\ E = - \sum_r W_r W_{-r} \sin \varphi_r \cos \varphi_{-r}$$

Уравнения (IIб,в) имеют место при произвольном виде потенциала $V(\theta)$ (четность V не обязательна). В том случае, когда $\cos \frac{V}{2} \neq 0$ можно положить $\hat{G} = 1/\cos \frac{\hat{V}}{2}$ и тогда (IIб) сведется к системе с диагональным беспорядком, которая была получена в [16]:

$$(D - \text{tg } \frac{V}{2}) \bar{u} = 0$$

Однако, как отмечалось, такое преобразование допустимо только при $\cos \frac{V}{2} \neq 0$. В противном случае недиагональный беспорядок остается.

Формулы (9,10,11,IIa-в) дают связь между локализацией СФКЭ и одномерной локализацией Андерсона. При этом квазиэнергия ω как бы определяет потенциал взаимодействия, а собственное значение энергии E рассматривается как параметр. Кроме того невозмущенный номер уровня n в модели (I) соответствует дискретной пространственной координате в одномерной цепочке. Поскольку в одномерной неупорядоченной (случайной) цепочке все собственные функции локализованы, то естественно ожидать экспоненциальной локализации СФКЭ в модели (I). Отметим, что форма уравнений (IIб,в) удобна для сравнения с локализацией Андерсона. Однако, представление уравнений (9) в виде (10), (11) более удобно для численных экспериментов (см. ниже). Если модель сразу задана в виде (II), то ее можно свести к некоторой модели (I) при условии, что $\sum_r W_r W_{r+n} \sin(\varphi_r - \varphi_{r+n}) = 0$. Тогда согласно (10) $W^\pm(\theta) = \sum_r W_r e^{\pm i\varphi_r - i r \theta}$, а $e^{iV} = W^+/W^-$.

Рассмотрим теперь предложенную в [16] модель ротатора с потенциалом $V = 2 \arctg(E - 2k \cos \theta)$. Выбрав $g = 1/\cos \frac{V}{2}$ получим $W_0 e^{i\varphi_0} = 1 - iE$, $W_{\pm 1} e^{i\varphi_{\pm 1}} = ik$, $W_r = 0$ при $|r| > 1$. Уравнение (II) принимает вид

$$E_n u_n + k u_{n+1} + k u_{n-1} = E u_n \quad (\text{I2})$$

где $E_n = \text{tg } \chi_n$, $\chi_n = (\omega - T H_0(n))/2$, здесь и далее черту в \bar{u}_n опускаем. Если χ_n равномерно заполняют интервал $[0, \pi]$, то распределение флуктуаций E_n имеет вид

$$P(E_n) = \frac{1}{\pi} \frac{1}{1 + E_n^2} \quad (\text{I3})$$

В том случае, когда значения фазы χ_n случайны и независимы, модель (I2) представляет собой хорошо известную в твердом теле модель Ллойда [31,18]. В этой модели имеет место экспоненциальная локализация собственных функций $u_n \propto e^{-\gamma |n|}$. Точное значение показателя γ равно [18]:

$$\gamma = \text{arsh} \left[\frac{1}{4k} (\sqrt{(2k+E)^2 + 1} + \sqrt{(2k-E)^2 + 1}) \right] \quad (\text{I4})$$

Длина локализации $l = 1/\gamma$. При $l \gg 1$ из (I4) получаем $l = \sqrt{4k^2 - E^2}$. Для определения неизвестного численного множителя α в оценке (7) вычислим скорость диффузии D . Ввиду случайности χ_n фазы $\theta(r)$ в (2) случайны и независимы и $D = D_{gl}$. Вычисление интеграла (3) в области $D_{gl} \gg 1$ дает $D_{gl} = 2\sqrt{4k^2 - E^2}$. Откуда получаем, что $\alpha = 1/l$.

Пусть теперь $H = n^2/2$. Тогда фазы χ_n уже не являются случайными. Более того, при значениях параметра $T = \frac{4\pi p}{q}$, где p, q - целые взаимно простые числа E_n в (I2) становятся периодической функцией n , что соответствует случаю идеального кристалла и нелокализованным собственным функциям. В этом случае квантового резонанса [32] спектр квазиэнергий непрерывен и состоит из q зон. В [33] было показано, что непрерывная компонента сохраняется и для некоторых специальных иррациональных T/q очень близких к рациональным числам.

Можно, однако, высказать гипотезу, что для типичных иррациональных значений $T/4\pi$ ($c_1/q^{2+\epsilon} < |T/4\pi - p| < c_2/q^2$), мера которых на единичном отрезке $[0,1]$ равна единице, всегда будет

иметь место экспоненциальная локализация с показателем γ из (I4). Численные эксперименты, в которых явно находились собственные функции квазиэнергии, подтверждают эту гипотезу [I6]. Вместе с тем, такой метод определения длины локализации l представляется слишком трудоемким. Гораздо более простым является прямое определение инкремента экспоненциального убывания из уравнения (I2). Для этого достаточно задать два произвольных значения u_{n-1}, u_n , а затем вычислить из (I2) остальные u_{n+1}, u_{n+2}, \dots . Этот процесс можно рассматривать как динамику некоторой гамильтоновой системы с одной степенью свободы, задаваемую отображением

$$\begin{pmatrix} u_{n+1} \\ u_n \end{pmatrix} = M \begin{pmatrix} u_n \\ u_{n-1} \end{pmatrix}$$

где матрица $M = \begin{pmatrix} (E - E_n)/k & -1 \\ 1 & 0 \end{pmatrix}$.

Гамильтоновость следует из того, что $\det M = 1$. Согласно общей теории гамильтоновых систем [9] в этом случае имеется два показателя Ляпунова $\gamma^+ = -\gamma^-$, которые определяют скорость экспоненциального роста и убывания собственных векторов. В численных экспериментах прямая итерация уравнения (I2) всегда приводит к выходу на растущий собственный вектор. Получаемый при этом инкремент γ^+ дает обратную длину локализации собственных функций [I8]. Условие $\gamma^+ > 0$ и есть условие экспоненциальной локализации. Отношение получаемой таким методом величины l_{ex} к теоретическому значению $1/\gamma$ оказывается близким к единице (см. рис. I). Параметры модели менялись в интервалах $0.01 \leq k \leq 1000$, $10^{-6} \leq T \leq 1$, $0 \leq E \leq 2$. Величина γ^+ определялась на интервале $1 \leq n \leq 10^5$ и не зависела от параметров ω и T . Некоторое уменьшение l_{ex} по сравнению с теоретическим значением $1/\gamma$ в области $1/\gamma \sim 10^3$, связано, по-видимому, с недостаточно большим интервалом по n . Получаемые значения u_n можно рассматривать как собственную функцию на некотором интервале по n . В тех случаях, когда $T \ll 1$ зависимость u_n от n имела вид ступенек размера $\Delta n \sim \frac{1}{Tn}$. С ростом n их размер уменьшался и при $Tn \sim 1$ они исчезали. Оценка для величины Δn , естественно, получается из условия, что набег фазы $\Delta \chi_n = \frac{1}{2} Tn \Delta n \sim 1$. Отметим, что в рас-

считываемой модели квазиклассика ($k \gg 1$) всегда соответствует области развитого хаоса, где $l = Dq/l$. Действительно, в этом случае в классическом отображении (2) всегда происходит сильное растяжение по фазе ($\partial \bar{\theta} / \partial \theta \sim k^2 T$), приводящее к хаосу.

Рекуррентное определение u_n из уравнения (I2) позволяет исследовать статистику флуктуаций СФКЭ в численном эксперименте. Введем величину $z_n = u_{n+1}/u_n$. В модели со случайными фазами χ_n распределение значений z при $E = 0$ имеет вид [I8]:

$$P(z) = \frac{1}{\pi} \frac{\delta}{\delta^2 + z^2} \quad (I5)$$

где $\delta = (\sqrt{4k^2 + 1} + 1) / 2k$.

Результаты численных экспериментов для случайной и псевдослучайной ($H_0 = n^2/2$) моделей Ллойда удовлетворительно согласуются с этим распределением (рис. 2). Возникновение медленно убывающих флуктуаций связано с $E_n = \text{tg} \chi_n$, приводящему к (I3).

Зависимость u_n от n можно представить в виде $u_n = e^{\delta n + \xi_n}$, где среднее значение $\langle \xi_n \rangle = 0$. Представляет определенный интерес вопрос о поведении $\langle \xi_n^2 \rangle$. Если бы $\Delta \xi_n = \xi_{n+1} - \xi_n$ были случайны и независимы, то $\langle \xi_n^2 \rangle$ росло бы диффузионно с n : $\langle \xi_n^2 \rangle = D_\xi n$. Однако, такая независимость $\Delta \xi_n$, вообще говоря, отсутствует и поэтому для вычисления $\langle \xi_n^2 \rangle$ требуется учитывать корреляции на разных n , что значительно усложняет задачу. Предварительные численные эксперименты показали, что диффузионный рост $\langle \xi_n^2 \rangle$ в псевдослучайной модели Ллойда, по-видимому, отсутствует. Так, при $k = 3$, $T = 0.5$, $E = 0$ величина D_ξ уменьшалась от 0.12 до 0.011 при увеличении интервала по n от 10^5 до 10^6 . Вместе с тем, для окончательного ответа на вопрос о поведении $\langle \xi_n^2 \rangle$ требуются дальнейшие более подробные исследования.

4. Квантовое стандартное отображение

Рассмотрим теперь случай, когда в (II) отличны от нуля только w_r с $|r| \leq N$, $w_r e^{i\varphi_r} = w_{-r} e^{i\varphi_{-r}}$. Тогда (II), так же как и при $N = 1$, задает некоторую гамильтонову систему с N степенями свободы. Ее динамика в дискретном времени n определяется матрицей M размерности $2N \times 2N$,

$\det M = 1$, а матричные элементы равны $M_{ij} = \frac{-W_{N-j} \sin(\chi_n + \varphi_{N-j})}{W_N \sin(\chi_n + \varphi_N)}$

и $M_{ij} = \delta_{i,j+1}$ при $i > 1$ ($1 \leq i, j \leq 2N$). Для гамильтоновости требуется, чтобы матрица M наряду с собственным значением λ имела и собственное значение $1/\lambda$ [9]. Для этого необходимо, чтобы характеристический полином $\rho(\lambda) = \det |M - \lambda E|$ был возвратным, т.е. $\rho(\lambda) = \lambda^{2N} \rho(1/\lambda) = \lambda^{2N} + a_1 \lambda^{2N-1} + \dots + a_{2N-1} \lambda + 1$, где $a_1 = a_{2N-1}$, $a_2 = a_{2N-2}$ и т.д. Из явного вида матрицы M следует, что $a_j = -M_{ij}$ и необходимым условием гамильтоновости является $W_r e^{i\varphi_r} = W_{-r} e^{-i\varphi_r}$. Покажем, что это условие оказывается достаточным. Для этого требуется, чтобы характеристический полином для произведения произвольного числа матриц M_n (матрица M_n меняется с изменением n), также был возвратным. Тогда произведение матриц M_n поворотом может быть приведено к симплектической матрице S_m ($\Pi = \prod_{n=1}^m M_n = Q S_m Q^{-1}$), что и означает гамильтоновость динамики [9]. Для доказательства заметим, что $M_n^I = M_n^{-1}$, где знак I означает операцию инверсии элементов матрицы относительно центра (транспонирование относительно главной, а затем побочной диагоналей). Легко видеть, что если $A^I = A^{-1}$, $B^I = B^{-1}$, то $(AB)^I = B^I A^I = (AB)^{-1}$. Кроме того, тогда $\det A = \det A^I$, и если $\det A = 1$, то и $\det A^I = 1$. Покажем теперь, что если $A^I = A^{-1}$, то характеристический полином является возвратным: $\rho(\lambda) = \det |A - \lambda E| = \det |E - \lambda A^I| = (-\lambda)^{2N}$.

$$\det |(A - \frac{1}{\lambda} E)^I| = \lambda^{2N} \det |A - \frac{1}{\lambda} E| = \lambda^{2N} \rho(1/\lambda)$$

Что и требовалось доказать. Вследствие этого в системе имеется N положительных и N отрицательных показателей Ляпунова, причем ввиду гамильтоновости $\gamma_i^+ = -\gamma_i^-$. По аналогии со случаем $N=1$ естественно предположить, что асимптотически длина локализации СФКЭ будет определяться минимальным положительным показателем Ляпунова γ_0 . Отличие $\gamma_0 = 1/2$ от нуля ($\gamma_0 > 0$) приво-

дит к тому, что все СФКЭ экспоненциально локализованы, а спектр квазиэнергий является чисто точечным. Техника вычисления всех показателей Ляпунова подробно описана в [9]. При этом удается найти не только все γ_i , но и определить зависимость нормы собственного вектора $\|u_n^{(i)}\| = (\sum_{m=1}^{2N} |u_{n+m}^{(i)}|^2)^{1/2}$ от n . Для СФКЭ это означает, что известно поведение собственной функции, усредненной по $2N$ уровням.

Предложенный метод наименьшего показателя Ляпунова был использован для вычисления длины локализации в квантовом стандартном отображении (4). Выбрав в этой модели $g=1$ из (4), (9) получим, что в (II) $W_r = J_r(k/2)$, $\varphi_r = -\frac{\pi r}{2}$, $\chi_n = (\omega - \frac{\pi n^2}{2})/2$, где $J_r(k/2)$ - функция Бесселя. Уравнение (II) преобразуется к виду:

$$\begin{aligned} & J_0(k/2) \operatorname{tg} \chi_n u_n - J_1(k/2) (u_{n+1} + u_{n-1}) - \\ & - J_2(k/2) \operatorname{tg} \chi_n (u_{n+2} + u_{n-2}) + \\ & + J_3(k/2) (u_{n+3} + u_{n-3}) + J_4(k/2) \operatorname{tg} \chi_n (u_{n+4} + u_{n-4}) + \dots = 0 \end{aligned} \quad (16)$$

Откуда видно, что локализация в модели (4) соответствует локализации в одномерной нерегулярной (но неслучайной) цепочке (IIb) при энергии $E=0$. Из-за быстрого падения $J_r(k/2)$ при $|r| > k/2$ в численных экспериментах можно было ограничиться конечным числом взаимодействующих соседей $N \sim k/2$. Проверка показала, что дальнейшее увеличение N не меняет минимальные показатели, а сказывается только на максимальных. Другая проверка состояла в том, что отрицательные показатели должны быть равны по модулю положительным, что также имело место при счете на достаточно большом интервале по n . Как правило, этот интервал составлял $\sim 10^5$ уровней. Сравнение длины локализации, вычисленной указанным выше способом с СФКЭ полученными в численных экспериментах [16] показывает, что длина локализации действительно определяется наименьшим показателем Ляпунова (рис.3). Пример вычисления двух показателей Ляпунова приведен на рис.4.

Проверка соотношения (7) проводилась для различных значений параметров: $5 \leq k \leq 75$; $1,5 \leq K \leq 29$, $T \leq 1$ и $T/4\pi$ - произвольное (типичное) иррациональное число. Полученные зна-

чения $\alpha = \ell/D$ для разных D представлены на рис.5. Среднее значение $\langle \alpha \rangle = 0.57$ со среднеквадратичным разбросом $\Delta = 0.11$. В качестве D брались значения скорости диффузии в классической системе полученные в работе [13]. При $K > 10$ использовалось теоретическое значение (6). Разброс точек на рис.5 определяется, по-видимому, тем, что в ряде случаев квазиклассическое приближение было недостаточно хорошим (например, $T \sim 1$). Для устранения этой причины разброса было бы более точным в таких случаях вместо D подставлять в (7) скорость квантовой диффузии D_q , как это было сделано в [13]. Другая причина разброса связана с тем, что для получения очень точного значения ℓ требуется большой интервал усреднения по n (см.рис.4). Зависимость ℓ от k при фиксированном K представлена на рис.6. В противоположном случае, когда $k = const$, а меняется T изменение ℓ происходит за счет зависимости $D_0(K)$ (рис.7). Осцилляции скорости диффузии и длины локализации с K связаны с влиянием разновременных корреляций $C(\tau) = \langle \sin \theta(0) \sin \theta(\tau) \rangle$. Теоретическая кривая (6) при $K > 4.5$ на рис.7, полученная в [21,22], соответствует учету только первых четырех корреляций при $\tau \leq 4$ [9]. Однако при специальных значениях K (например, $K = 6.6$), когда имеет место "микротронный" резонанс, интеграл от корреляций расходится, что приводит формально к бесконечной скорости диффузии [34,35]. В этом случае величина ℓ определяется скоростью диффузии в квантовой системе, которая оказывается конечной из-за того, что совпадение квантовых и классических корреляций имеет место только для не слишком больших τ [26]. Так, при $k = 20$, $K = 6.6$ длина локализации $\ell \approx 220$, а отношения $\ell/D = 0.7$ (здесь взято D из (6)), $\ell/D_q = 1.1$. При $K \gg 1$, когда применимо квазилинейное приближение зависимость D от T исчезает и $\ell = D_q \ell/2 = k^2/4$. Аналогичное выражение для ℓ получается при случайных χ_n , что действительно подтверждается численными экспериментами. Если $H_0 \propto n^\beta$ с $\beta > 2$, то это соответствует тому, что $K \propto n^{\beta-2}$ и на больших n работает квазилинейное приближение. Поэтому для систем с $\beta > 2$ длина локализации равна $\ell = k^2/4$. Анализ численных данных для модели (4) при $1 < T < 2\pi$ и $k = 20, 30$ показал, что для имеющихся 15 случаев среднее значение отношения ℓ/D_q равно $\langle \alpha \rangle = 0.64$, $\Delta = 0.10$. Это значение оказывается несколько больше, чем в области квазиклассики ($T < 1$). Тем не менее в целом можно считать, что в области $T > 1$ длина

локализации удовлетворительно описывается соотношением $\ell = D_q \ell/2$. Более точное выражение можно получить заменив D_q на квантовую скорость диффузии D_q . Отметим, что зная величину $\ell = D_0/2T^2$ можно оценить ширину зон в случае квантового резонанса $T = 4\pi P/q$:

$$\Delta \omega \sim e^{-q/\ell}$$

При этом расстояние между зонами $\sim 1/q$. Аналогичная оценка для псевдослучайной модели Ллойда была получена в [16].

В квазиклассической области длина локализации

$$\ell = \frac{D_0(K)}{2T^2} \quad (17)$$

Это соотношение сохраняется не только в области развитого лаоса $K \geq 4$, где мера островков устойчивости пренебрежимо мала [7], но и при $\Delta K = K - K_{cr} \ll 1$, когда скорость диффузии определяется сложной иерархической структурой [23,24] и устойчивая компонента занимает около 50% всей фазовой плоскости [7]. Полученные численные данные удовлетворительно согласуются с формулой (17). При этом скорость диффузии в стандартном отображении D_0 меняется на 4 порядка (рис.8). Следует, однако, отметить, что соотношение (17) выполняется только тогда, когда длина локализации значительно превышает число взаимодействующих соседей $2N \approx k$. В противном случае $D_0/2T^2 \ll k$ диффузия оказывается чересчур медленной и не приводит к увеличению длины локализации ($\ell \sim k$). Таким образом, соотношение (17) выполняется при условии

$$k > k_{cr} = \frac{\alpha K^2}{D_0} \gg 1 \quad (18)$$

где константа $\alpha \sim 1$ может быть определена из численных экспериментов. Неравенство (18), впервые полученное в работе [13], дает условие однородной локализации. В обратном предельном случае $k \ll k_{cr}$ длина локализации $\ell \sim N \sim k$ оказывается сравнимой с периодом резонансной структуры $\Delta n = 2\pi/T$ и оказывается существенно неоднородной [13]. Пример однородной и неоднородной локализаций представлен на рис.9. В неоднородном случае размер наблюдаемых ступенек равен периоду резонансной структуры $2\pi/T$. Аналогичные ступеньки наблюдались для стационарного распределения (20) в численных экспериментах [13].

В отличие от псевдослучайной модели Ллойда эти ступеньки сохраняются и при очень больших значениях n . Так, например, на рис.9 зависимость $\|u_n\|$ от n представлена в той области, где $n \approx 3 \cdot 10^4$. В области устойчивости ($k \gg 1$, $K \ll 1$) численные данные показывают, что локализация по порядку величины равна числу взаимодействующих соседей

$$l \approx \frac{k}{4} \quad (I9)$$

В этой области из-за малости резонансов локализация становится почти однородной.

Значение α в (I8) численно можно определить из того условия, что при фиксированном $k \gg 1$, начиная с некоторых $K = kT$, определяемая величина α в (7) начинает резко расти (т.е. соотношение (I7) нарушается). Получаемое таким образом значение $\alpha \approx 1.3$ (для $k_{cr} = 20, 30, 40$), что согласуется с результатами [I3] $\alpha \approx 1$. Отметим, что диффузионный масштаб $\tau_D \sim k_{cr} \alpha \hbar^{-1}$ в области $k \sim k_{cr}$ существенно превышает значение $\tau_D \sim k_{cr}^{2/3} \alpha \hbar^{-1/3}$ полученное в [36]. Обсуждение этого вопроса дано в [I3].

Рассмотрим теперь вопрос о свойствах стационарного распределения по невозмущенным уровням $\bar{f}(n) = \lim_{t \rightarrow \infty} \frac{1}{t} \int_0^t f(n, \tau) d\tau$. Это распределение может быть выражено через СФКЭ $\psi_m(n)$ с квазиэнергией ω_m [I3]. В том случае, когда начально возбужден один уровень с $n = 0$, имеем

$$\bar{f}(n) = \sum_m |\psi_m(0)|^2 |\psi_m(n)|^2 \quad (20)$$

Численные эксперименты [I3] показали, что $\bar{f}(n) \propto e^{-2|n|/l_s}$, а длина локализации стационарного распределения $l_s \approx D$ ($l_s/D = \alpha_s$, $\langle \alpha_s \rangle = 1.04$, $\Delta = 0.20$ см.рис.8). Сравнение с данными для длины локализации СФКЭ l , полученными методом наименьшего показателя Ляпунова (рис.8), показывает, что $l_s \approx 2l$. Вместе с тем, в [I3] в приближении, что флуктуации $\psi_m(n)$ малы и ими можно пренебречь было получено, что $l_s = l$ (фактически было принято, что $|\psi_m(n)|^2 = \frac{1}{2} e^{-2|n-m|/l}$). Причина этого расхождения заключается, по-видимому, в присутствии сильных флуктуаций в $\psi_m(n)$ и разном характере усреднений для $\bar{f}(n)$ и l . Действительно, асимптотика $\bar{f}(n)$ опреде-

ляется показателем $\gamma_s = \frac{1}{l_s} = (\ln \langle |\psi_m(n)|^2 \rangle) / 2n$, где среднее $\langle \dots \rangle$ вычисляется по состояниям с разными квазиэнергиями и тем самым разным потенциалам взаимодействия в цепочке (I6). В то же время длина локализации СФКЭ равна $\frac{1}{2} = \langle \frac{\ln |\psi_m(n)|^2}{2n} \rangle$. При наличии сильных флуктуаций разный характер усреднений может приводить к отличию l_s от l . Такое явление происходит, например, при вычислении коррелятора плотность-плотность $\rho_{\infty}(x-x', E) = \langle \sum_{discr} \delta(E-E_n) |\psi_n(x) \psi_n(x')|^2 \rangle$ в неупорядоченных системах (здесь $\psi_n(x)$ — собственные функции с энергией E_n) [I8]. В области больших энергий E для $\rho_{\infty}(x-x', E)$ получается, что $l_s = 4l$ [I8]. Из сравнения (20) с выражением для $\rho_{\infty}(x-x', E)$ видно, что стационарное распределение \bar{f}_n является аналогом коррелятора плотность-плотность. Причина сильных флуктуаций $\psi_m(n)$, так же как и в псевдослучайной модели Ллойда, связана с флуктуациями $tg \chi_n$ в (I6). Однако их свойства оказываются более сложными из-за того, что большое число соседей ($N > 1$) приводит к тому, что на интервале $\delta n \sim N$ значения u_n сильно скоррелированы друг с другом. На рис.10 приведен пример интегрального распределения флуктуаций $F(z)$ для величины $Z(\delta n) = \|u_{n+\delta n}\| / \|u_n\|$. При больших Z вероятность $F(z)$ убывает степенным образом, однако, для вычисления показателя степени и понимания особенностей поведения $F(z)$ требуются дальнейшие более подробные исследования. Знание флуктуационных свойств $\psi_m(n)$ необходимо для вычисления стационарного распределения $\bar{f}(n)$ и величины l_s . При этом надо иметь в виду, что, вообще говоря, собственная функция $\psi_m(n)$ представляет собой некоторую линейную комбинацию из N векторов, соответствующих убывающим показателям Ляпунова γ_i^- . Естественно считать, что асимптотика $\bar{f}(n)$ будет определяться собственным вектором с наименьшим по модулю показателем. Однако, для вычисления средних характеристик, например, энергии $\langle E_n \rangle = \langle n^2 \rangle / 2$, роль остальных векторов может оказаться существенна. Причем для вычисления требуется знать не только спектр показателей $\gamma_i^+ = -\gamma_i^-$, но и веса с которыми соответствующие собственные вектора входят в собственную функцию. Пример спектра показателей Ляпунова в области квантового хаоса ($K > K_{cr}$) и области устойчивости ($K < K_{cr}$) представлен на рис.II. Видно, что структура спектра в этих двух случаях оказывается различной. Так, в устойчивой области име-

ется много близких показателей, в то время как в области квантового хаоса γ_i существенно отличаются друг от друга. Каким образом можно было бы аналитически вычислить весь спектр показателей и как он сказывается на стационарном распределении остается пока неясным. Возможно, что вид распределения будет таким же, как в [13] $\bar{f}(n) = \frac{1}{2\ell_s} \exp(-\frac{2|n|}{\ell_s})(1 + \frac{2|n|}{\ell_s})$, но с $\ell_s = 2\ell$.

5. Модель Ллойда с многими соседями

В качестве простого примера приложения к задачам твердого тела рассмотрим модель цепочки:

$$E_n u_n + \sum_{\substack{r=-N \\ r \neq 0}}^N W_r u_{n+r} = E u_n \quad (21)$$

где E_n случайные независимые величины с распределением (13). Тогда можно положить $E_n = \text{tg } \chi_n$ и задача сводится в модели ротатора (I) со случайными $\chi_n = (\omega - T H_0(n))/\ell$ и потенциалом

$$V(\theta) = 2\alpha \text{arctg} \left(E - 2 \sum_{r=1}^N W_r \cos r\theta \right) \quad (22)$$

(см. (II), где надо положить $W_r e^{i\chi_r} = i W_r$, $W_0 e^{i\chi_0} = 1 - iE$). Согласно (7) длина локализации собственных функций с энергией E равна $\ell = D_{\text{eff}}/\ell$, где скорость диффузии $D = D_{\text{eff}}$ дается формулой (3) с потенциалом (22). Для проверки этого соотношения в модели (21) с $W_r = k$ были проведены численные эксперименты, в которых ℓ вычислялось методом наименьшего показателя Ляпунова. Параметры модели менялись в интервалах: $0.1 \leq k \leq 50$, $4 \leq N \leq 20$, $E = 0$. Полученные значения $\alpha = \ell/D$ для разных D представлены на рис.5. Среднее значение $\langle \alpha \rangle = 0.52$ с $\Delta = 0.07$ удовлетворительно согласуется с теоретическим значением $\alpha = 1/2$. В области $k \gg 1$, $N \gg 1$ величина $\ell = \frac{D_{\text{eff}}}{\ell} \approx 2kN^2$. Аналитическое выражение для ℓ (7) позволяет найти также зависимость ℓ от энергии E . Сравнение теории с численным экспериментом в этом случае также демонстрирует удовлетворительное согласие в области $D \gg 1$ (рис.12).

Рассмотрим теперь случай большей размерности $d = 3$. Тогда уравнение (21) принимает вид

$$E_{n_1 n_2 n_3} u_{n_1 n_2 n_3} + [k_1 (u_{n_1+1 n_2 n_3} + u_{n_1-1 n_2 n_3}) + k_2 (u_{n_1 n_2+1 n_3} + u_{n_1 n_2-1 n_3}) + k_3 (u_{n_1 n_2 n_3+1} + u_{n_1 n_2 n_3-1})] = E u_{n_1 n_2 n_3} \quad (23)$$

где выбрана модель с взаимодействием только между ближайшими соседями, а распределение $E_{n_1 n_2 n_3}$ имеет вид (13). Аналогично случаю $d = 1$ получаем, что (23) эквивалентно модели ротатора (I), но в размерности $d = 3$. Потенциал возмущения зависит теперь от трех фазовых переменных

$$V = 2\alpha \text{arctg} (E - 2k_1 \cos \theta_1 - 2k_2 \cos \theta_2 - 2k_3 \cos \theta_3) \quad (23)$$

а $E_{n_1 n_2 n_3} = \text{tg} [(\omega - T H_0(n_1, n_2, n_3))/\ell]$. Согласно (8) необходимое условие локализации собственных функций имеет вид

$$D_1 D_2 D_3 \leq 1 \quad (24)$$

При $E = 0$ и $k_1 \sim k_2 \sim k_3$ получаем, что локализация имеет место при $k_1 \leq 1$. Это условие разумно согласуется с критерием локализации Андерсона [17]: $\Delta \geq k_1$, где Δ - характерный интервал, в котором случайно меняются невозмущенные значения E_n . Для распределения (13) $\Delta \sim 1$. Условие $k_1 \leq 1$ соответствует фактически квантовой границе устойчивости [1], когда переходы на соседние уровни малы. В двумерном случае при $k_1 \gg k_2$ из (23) и (3) следует, что $D_1 \sim k_1$, $D_2 \sim k_2^2/k_1$. Тогда их (8) условие локализации $k_2 \leq 1$. В противном случае согласно оценке (8) будет иметь место делокализация. Следует однако отметить, что в размерности $d = 2$ временная зависимость в левой и правой частях (8) одинакова (нет запаса по степени τ_D). Поэтому возможно, что при $d = 2$ и $k_2 \gg 1$ будет иметь место локализация, но ее длина будет экспоненциально расти с $D_1 D_2$. Для выяснения этого требуется более подробный анализ. При размерности $d = 3$ и $k_1 \gg k_2 \sim k_3$ имеем $D_1 \sim k_1$, $D_2 \sim D_3 \sim k_2^2/k_1$. В этом случае локализация возможна при выполнении (24). При этом, однако, надо потребовать, чтобы соотношение (8) выполнялось для времени $\tau_D \sim k_1$, в течение которого диф-

фузия идет по уровням n_1 (возбуждается $\Delta n_1 \sim k_1$, $\Delta n_2 \sim (D_2 k_1)^{1/2}$, $\Delta n_3 \sim (D_3 k_1)^{1/2}$). Это дает следующее условие локализации $k_2^2 \sim k_2 k_3 \lesssim 1$. В том случае, когда $D_1 \gg D_2 \gg D_3$ и $D_1 D_2 \gg 1$ в качестве τ_D надо взять время квантового ограничения хаоса в двумерной системе, если оно конечно.

Для примера рассмотрим еще локализацию в одномерной системе с недиагональным беспорядком ($\hat{W}u = Eu$):

$$W_{nm} = k (\delta_{n,m+1} + \delta_{n,m-1}) +$$

$$+ (\delta_{n,m_1} + \delta_{n,m_1+1} + \delta_{n,m_1-1}) \delta_{m_2,m_1} \operatorname{tg} \chi_{m_1} \cdot$$

$$(\delta_{m_2,m} + \delta_{m_2,m+1} + \delta_{m_2,m-1})$$
(25)

где по повторяющимся индексам проводится суммирование, $\delta_{n,m}$ — единичная δ -функция, а χ_m — случайны и независимы. Уравнение на собственные значения энергии имеет вид $\hat{W}u = Eu$. Согласно (II)-(IIb) системе (25) можно сопоставить квантовый ротатор (I) со случайным спектром $T H_0(n)$ и возмущением $W(\theta) = e^{-iV/2} g(\theta) = \sum_r W_r e^{i\varphi_r} e^{ir\theta}$, где $W_0 e^{i\varphi_0} = 3 - iE$, $W_{\pm 1} e^{i\varphi_{\pm 1}} = l + ik$, $W_{\pm 2} e^{i\varphi_{\pm 2}} = 1$. Откуда $W(\theta) = 3 - iE + 2(l + ik) \cos \theta + 2 \cos 2\theta$ и потенциал равен

$$V(\theta) = 2 \operatorname{arctg} \left(\frac{E - 2k \cos \theta}{3 + 4 \cos \theta + 2 \cos 2\theta} \right) \quad (26)$$

Согласно (7) длина локализации в модели (25) равна $\ell = D_{\text{eff}}/2$ (при $\ell \gg 1$), где D_{eff} дается формулой (3) с $V(\theta)$ из (26). Аналогичным образом можно вычислять потенциал V и длину локализации и в других моделях одномерных цепочек вида (IIб,в).

6. Заключение

Развитый численный метод наименьшего показателя Ляпунова позволил найти длину локализации в различных простых системах. С его помощью удалось проверить и подтвердить принцип квантового ограничения хаоса [II, I3], на основе которого было получено выражение для длины локализации СФКЭ через скорость классичес-

кой диффузии (7). Сравнение с точно решаемой моделью позволило определить неизвестную константу в (7) $\alpha = 1/2$. Численные данные для различных моделей удовлетворительно согласуются с этим значением. Можно думать, что метод наименьшего показателя Ляпунова найдет приложения в задачах одномерной локализации в неупорядоченных системах.

Простое выражение для длины локализации СФКЭ $\ell = D/2$ позволяет получать эффективные оценки для числа уровней, возбуждаемых внешним полем. Отметим, что по сравнению с локализацией в твердом теле локализация СФКЭ обладает рядом отличительных особенностей. Так, для СФКЭ делокализация может иметь место и в одномерном случае за счет увеличения скорости диффузии с номером уровня [II, I3]. В отличие от задач твердого тела такая ситуация в СФКЭ является довольно типичной. Примером системы, в которой имеет место такая делокализация, может служить висовозбужденный атом водорода в монохроматическом электрическом поле [I4, I5]. Другая отличительная особенность локализации СФКЭ состоит в том, что число степеней свободы (размерность пространства d), вообще говоря, неограниченна и может быть значительно больше трех. Кроме того при исследовании СФКЭ возникает интересная задача о локализации в детерминированном (неслучайном) потенциале. К сожалению строгие математические результаты в этой области очень немногочисленны [33, 37-39], и, в основном, относятся к несоразмерным структурам, когда в (I) $H_0(n)$ является линейной функцией n . На основе принципа квантового ограничения хаоса (8) можно высказать гипотезу, что в детерминированных системах типа (I) с произвольной размерностью d (вне квантового резонанса) локализация всегда будет иметь место, если соответствующая классическая система интегрируема. Действительно, в этом случае скорость диффузии равна нулю и условие локализации (8) выполнено. В случае линейной зависимости $H_0(n)$ от n имеется строгое доказательство локализации для произвольного d [38], что можно рассматривать как частичное подтверждение этой гипотезы.

Пользуясь случаем, автор выражает искреннюю благодарность Б.В. Чирикову за обсуждение и ценные замечания.

Л и т е р а т у р а

- I. Шурык Э.В. *ЖЭТФ*, 1976, 71, 2039.
2. Акулин В.М., Бурдов В.Д., Есальце Г.Г., Карлов Н.В., Прохоров А.М., Сусанин А.А., Хохлов Э.М. *Письма в ЖЭТФ*, 1984, 40, 432.
3. Евсеев А.В., Цурецкий А.А., Тяжт В.В. *ЖЭТФ*, 1985, 88, 60.
4. Bayfield J.E., Keeh P.M. *Phys. Rev. Lett.*, 1974, 33, 258; Bayfield J.E., Pinnaduwage L.A. *Phys. Rev. Lett.* 1985, 54, 313.
5. Jones D.A., Leopold J.G., Percival I.C. *J. Phys. Ser. B*, 1980, 13, 31.
6. Делоне Н.Б., Крайнов В.П., Шепелянский Д.Л. *УФН*, 1983, 140, 355.
7. Chirikov B.V. *Phys. Rep.*, 1979, 52, 263.
8. Заславский Г.М. *Стохастичность динамических систем*. М.: Наука, 1984.
9. Ликтенберг А., Либерман М. *Регулярная и стохастическая динамика*. М.: Мир, 1984.
10. Casati G., Chirikov B.V., Ford J., Grainger P.M. *Lectures Notes in Physics*, Springer 1979, 23, 334.
- II. Chirikov B.V., Grainger P.M., Shepelyansky D.L. *Soviet Scientific Reviews*, 1981, 20, 209.
12. *Proc. Int. Conf. on Quantum Chaos, Come 1983 (Plenum 1985)* Edited by G. Casati.
13. Чириков Б.В., Шепелянский Д.Л. *Препринт ИЯФ СО АН СССР* 85-29, Новосибирск, 1985.
14. Shepelyansky D.L. *Preprint 83-61, INP, Novosibirsk, 1983; Proc. Int. Conf. on Quantum Chaos, Come 1983 (Plenum 1985)* p. 187.
15. Casati G., Chirikov B.V., Shepelyansky D.L. *Phys. Rev. Lett.* 1984, 53, 2525
16. Fishman S., Grepel D.R., Prange R.E. *Phys. Rev. Lett.* 1982, 49, 509; *Phys. Rev. A*, 1984, 29, 1639.
17. Anderson P.W. *Phys. Rev.* 1958, 109, 1492.
18. Лифшиц И.М., Гредескул С.А., Пастур Л.А. *Введение в теорию неупорядоченных систем*. М.: Наука, 1982.
19. Базь А.И., Зельдович Я.Б., Переломов А.М. *Рассеяние, реакции и распады в нерелятивистской квантовой механике*. М.: Наука, 1971.
20. Greene J.H. *J. Math. Phys.* 1979, 20, 1183.
21. Rochester A.B., White R.B. *Phys. Rev. Lett.* 1980, 44, 1586.
22. Rochester A.B., Rosenbluth M.N., White R.B. *Phys. Rev. A* 1981, 23, 2664.
23. MacKay R.S., Meiss J.D., Percival I.C. *Physica D*, 1984, 13, 55.
24. Chirikov B.V. *Proc. Int. Conf. on Plasma Physics, Lausanne, 1984*, 2, 761.
25. Dana I., Fishman S. *Physica D*, 1985, to appear.
26. Shepelyansky D.L. *Physica D*, 1983, 8, 208.
27. Hegg T., Huberman B.A. *Phys. Rev. Lett.* 1982, 48, 711.
28. Hansen J.B., Ott E., Antonsen T.M. *Phys. Rev. A* 1984, 29, 319; *Phys. Rev. Lett.* 1984, 53, 2187.
29. Berizzi V., Grammaticos B., Pomeau Y. *J. of Stat. Phys.* 1984, 37, 93.
30. Чириков Б.В. *УФН* 1983, 139, 360.
31. Lloyd P. *J. Phys.* 1969, 2C, 1717.
32. Израйлев Ф.М., Шепелянский Д.Л. *ТМФ* 1981, 43, 417.
33. Casati G., Guarnera I. *Comm. Math. Phys.* 1984, 95, 121.
34. Karnaev S.P.F. *Physica D*, 1983, 8, 360.
35. Chirikov B.V., Shepelyansky D.L. *Physica D* 1984, 13, 395.
36. Fishman S., Grepel D.R., Prange R.E. *Phys. Rev. Lett.* 1984, 53, 1212.
37. Fishman S., Grepel D.R., Prange R.E. *Phys. Rev. Lett.* 1982, 49, 833.
38. Figotin A.L., Pastur L.A. *Comm. Math. Phys.*, 1984, 95, 401.
39. Bellisard J. "Stability and Instability in Quantum Mechanics". (To appear in *Lectures Notes in Math.*)

Подписи к рисункам

Рис.1. Отношение экспериментальных значений длины локализации ℓ_{ex} (точки) к теоретической (14) в псевдослучайной модели Ллойда (12) с $\chi_n = (\omega - T n^2 / \ell) / \ell$ Здесь и далее логарифмы десятичные.

Рис.2. Интегральное распределение $F(z) = \int_{|y|>z} p(y) dy$ флуктуаций $z_n = |u_{n+1} / u_n|$ в псевдослучайной модели Ллойда (12) при $k=10, T=0,5$. Точки - численные данные, гладкая кривая - теоретическое распределение $F(z) = 1 - \frac{2}{\pi} \arctg(x/\delta)$ для случайной модели Ллойда (см. (15)).

Рис.3. Локализация СФКЭ в квантовом стандартном отображении (4) $k=2,8, T=4,867$. Точки и кружки - собственные функции с разными квазиэнергиями (численные данные [16]). Прямые соответствуют значению ℓ , полученному методом наименьшего показателя Ляпунова.

Рис.4. Пример вычисления длины локализации в модели (4) при $k=40, K=10$. Сплошные линии соответствуют положительным показателям Ляпунова, а пунктирные отрицательным. На рисунке приведены два минимальных показателя ($\gamma = \frac{1}{2}\ell$).

Рис.5. Отношение $\alpha = \ell/D$ для разных D в квантовом стандартном отображении (кружки) и модели Ллойда с многими соседями (см. (21) с $W_T = k$, точки). Прямая - теоретическое значение $\alpha = 1/2$.

Рис.6. Зависимость длины локализации от числа ближайших соседей $2N \approx k$ в модели (4) при $K=5$. Точки - численные данные, прямая - теория $\ell = D_{qe} / \ell, D_{qe} = k^2 / \ell$.

Рис.7. Зависимость длины локализации в квантовом стандартном отображении от классического параметра стохастичности K (крестики, $k=30$). Кружки и кривая - численные данные и теория для классической скорости диффузии $D(K)$ [21, 22].

Рис.8. Зависимость длины локализации в (4) от скорости диффузии D_0 в стандартном отображении (5). Кружки - численные данные [13] для длины локализации ℓ_s , полученной из стационарного распределения (20). Пунктирная прямая соответствует среднему значению $\langle \alpha_s \rangle = 1.04$. Точки -

длина локализации, полученная из СФКЭ методом минимального показателя Ляпунова. Прямая - теоретическая формула (17). На вставке представлены численные данные [13] для зависимости D_0 от $\Delta K = K - K_{cr}, K_{cr} = 0,9716 \dots$

Рис.9. Зависимость усредненной СФКЭ $\|u_n\| = (\sum_{m=1}^{2N} |u_{n+m}|^2)^{1/2}$ от n в (4).

а) Однородная локализация при $k=20, K=5$.

б) Неоднородная локализация при $k=20, K=1.3$.

Явно видны периодические осцилляции с $\Delta n = \frac{2\pi}{T}$, связанные с резонансной структурой. Прямые соответствуют экспериментальным значениям ℓ , полученным на интервале $n \approx 5 \cdot 10^4$.

Рис.10. Интегральное распределение $F(z)$ флуктуаций $z(\delta n) = \|u_{n+\delta n}\| / \|u_n\|$ (ср. с рис.2) в (4).

Точки - $k=10, K=5, \delta n=20$;

Кружки - $k=20, K=5, \delta n=35$.

Рис.11. Спектр показателей Ляпунова γ_i^+ в (4).

Точки - область квантового хаоса $k=30, K=5$;

Кружки - область устойчивости $k=30, K=0,003$.

Рис.12. Зависимость длины локализации от энергии в модели Ллойда с многими соседями (21), $W_T = k, k=1, N=12$. Точки - численные данные, гладкая кривая - теория $\ell = D / \ell, c D = D_{ql}$ из (3) с потенциалом (22).

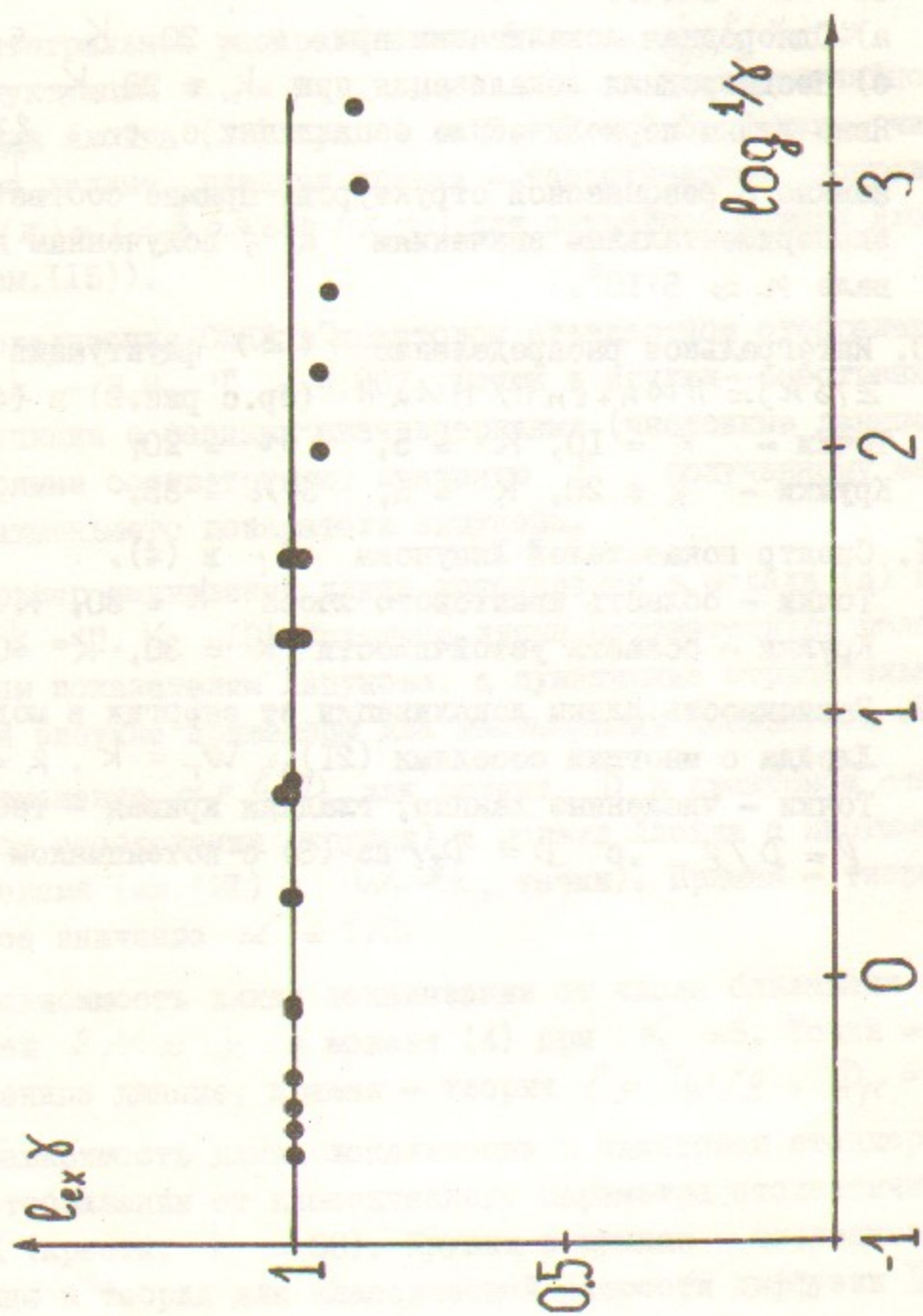


Рис.1

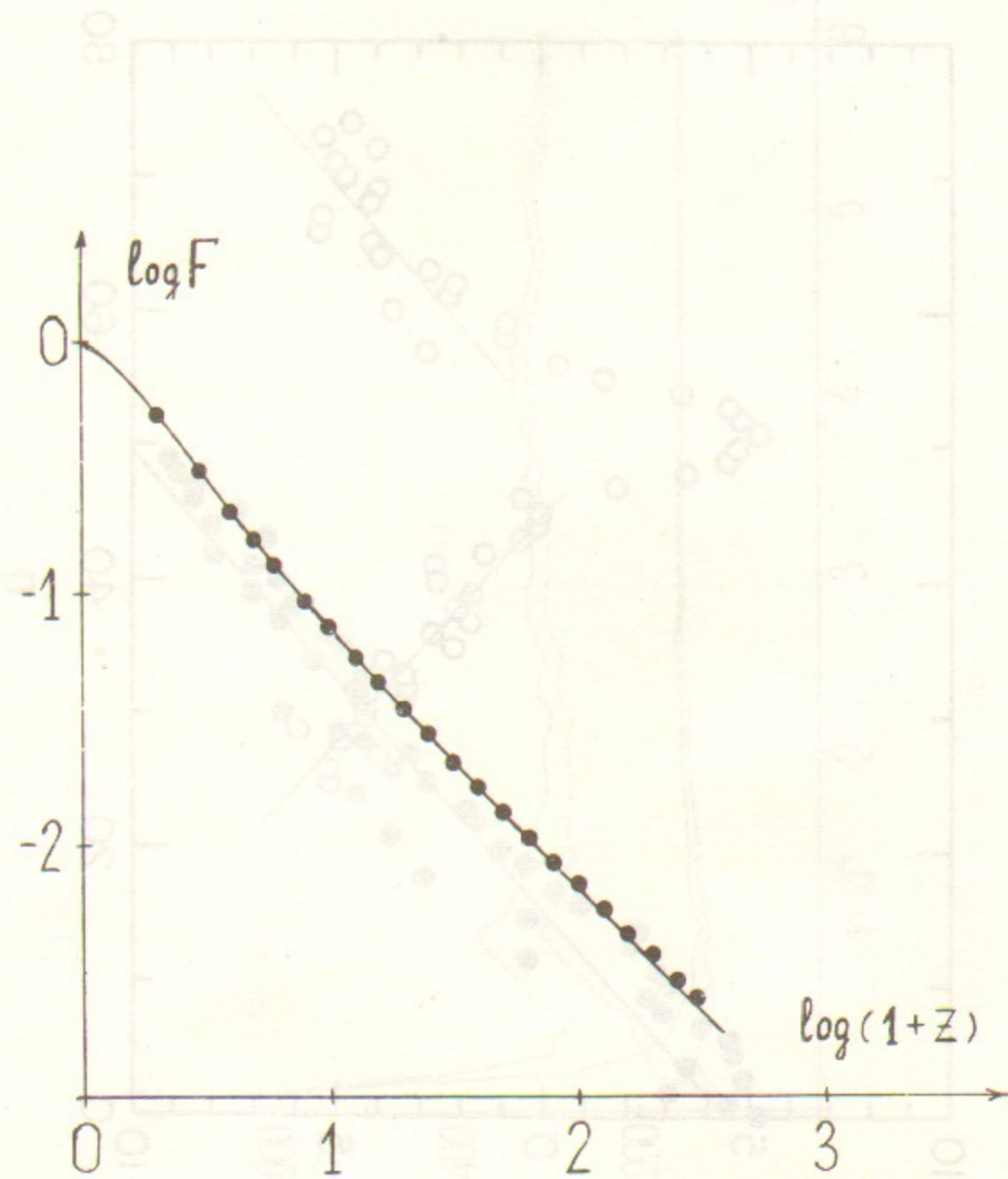


Рис.2

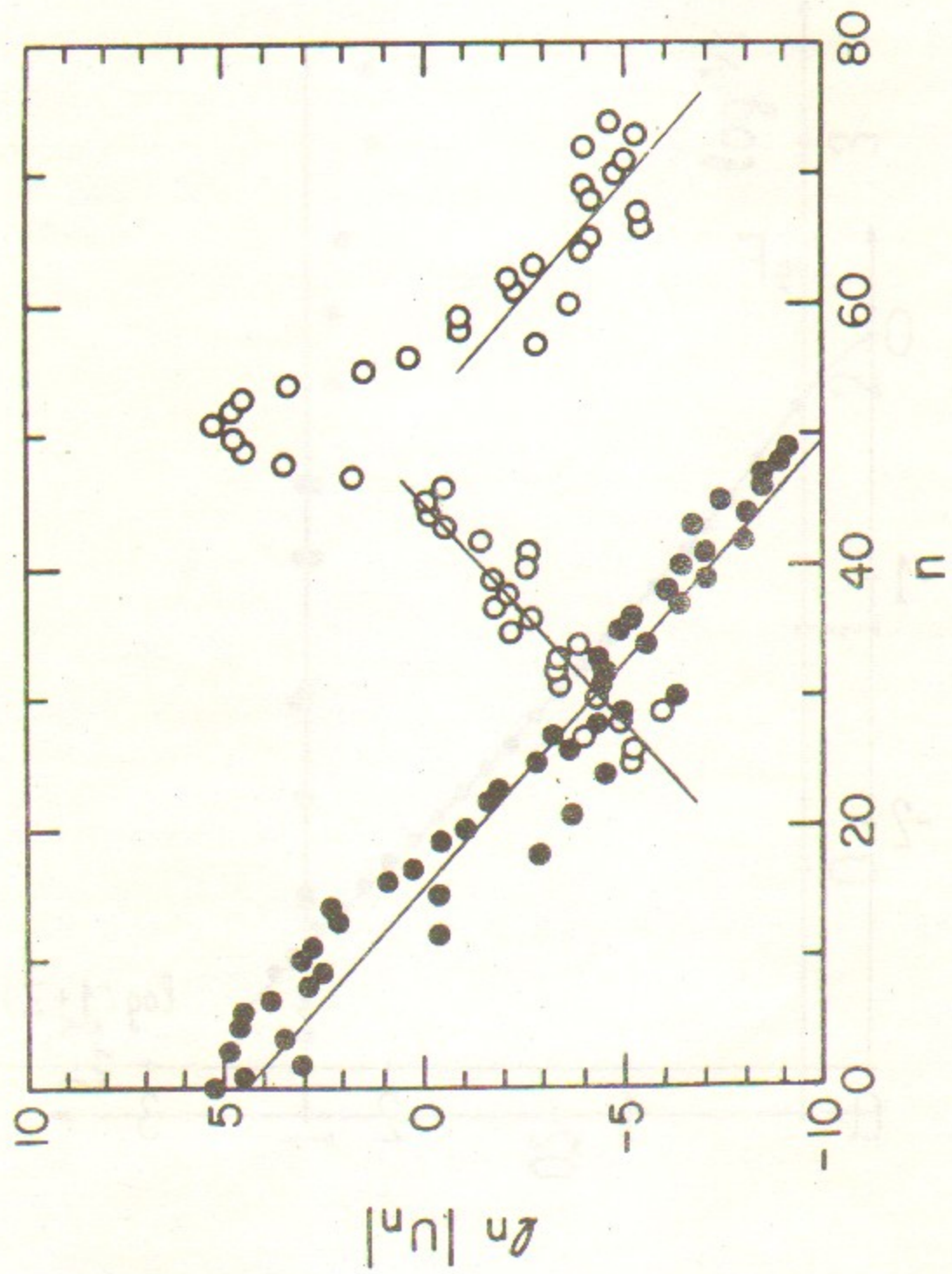


Рис.3

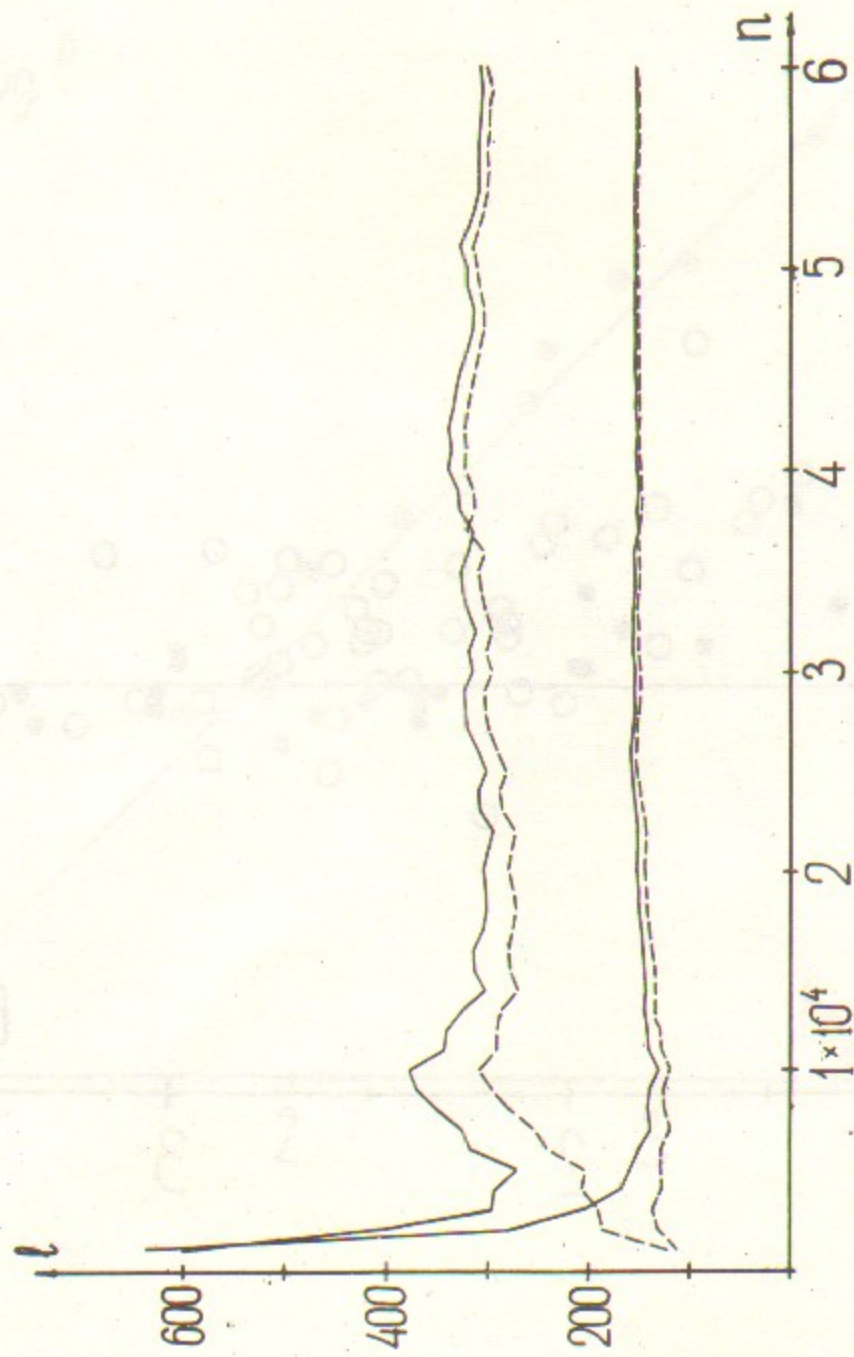


Рис.4

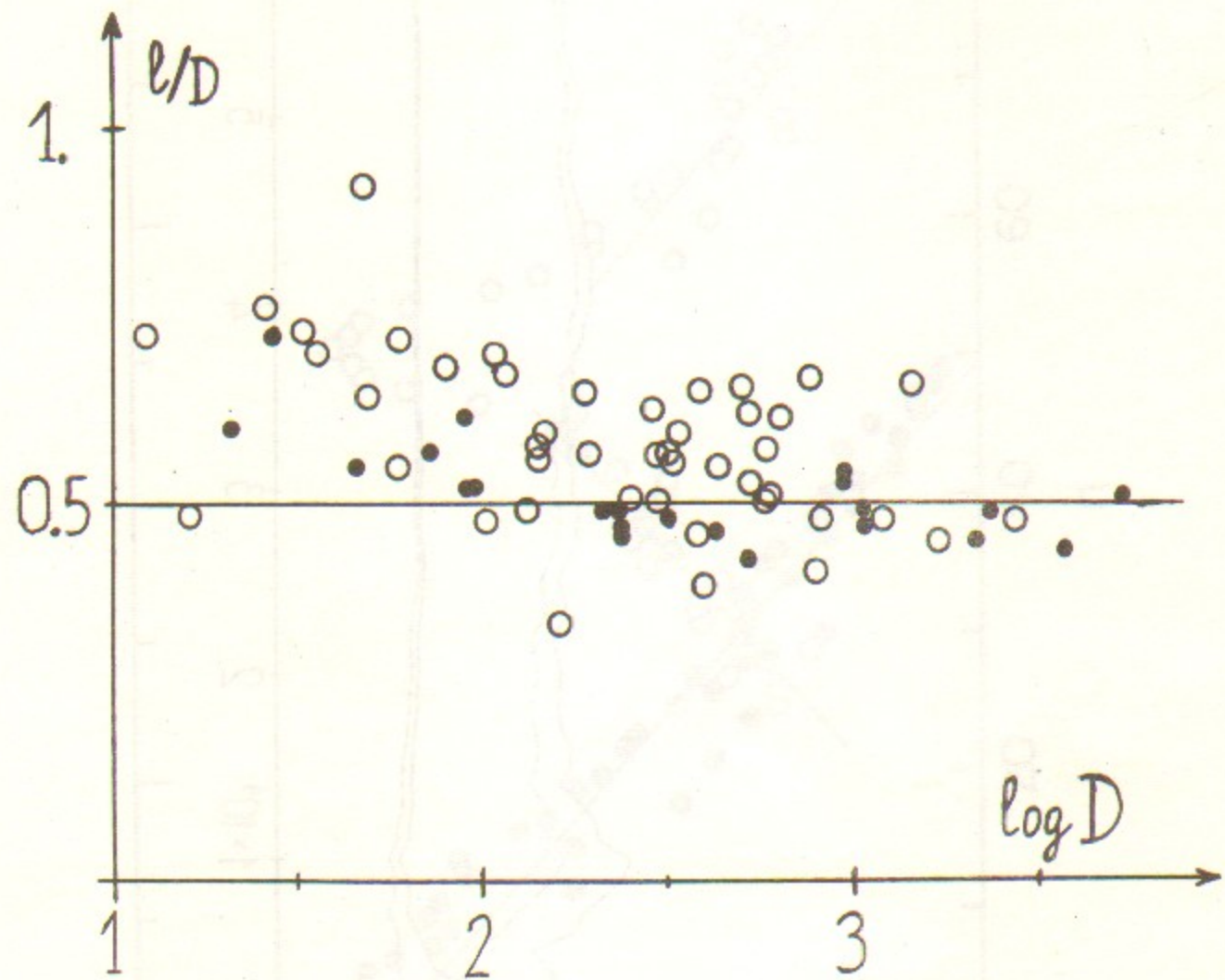


Рис.5

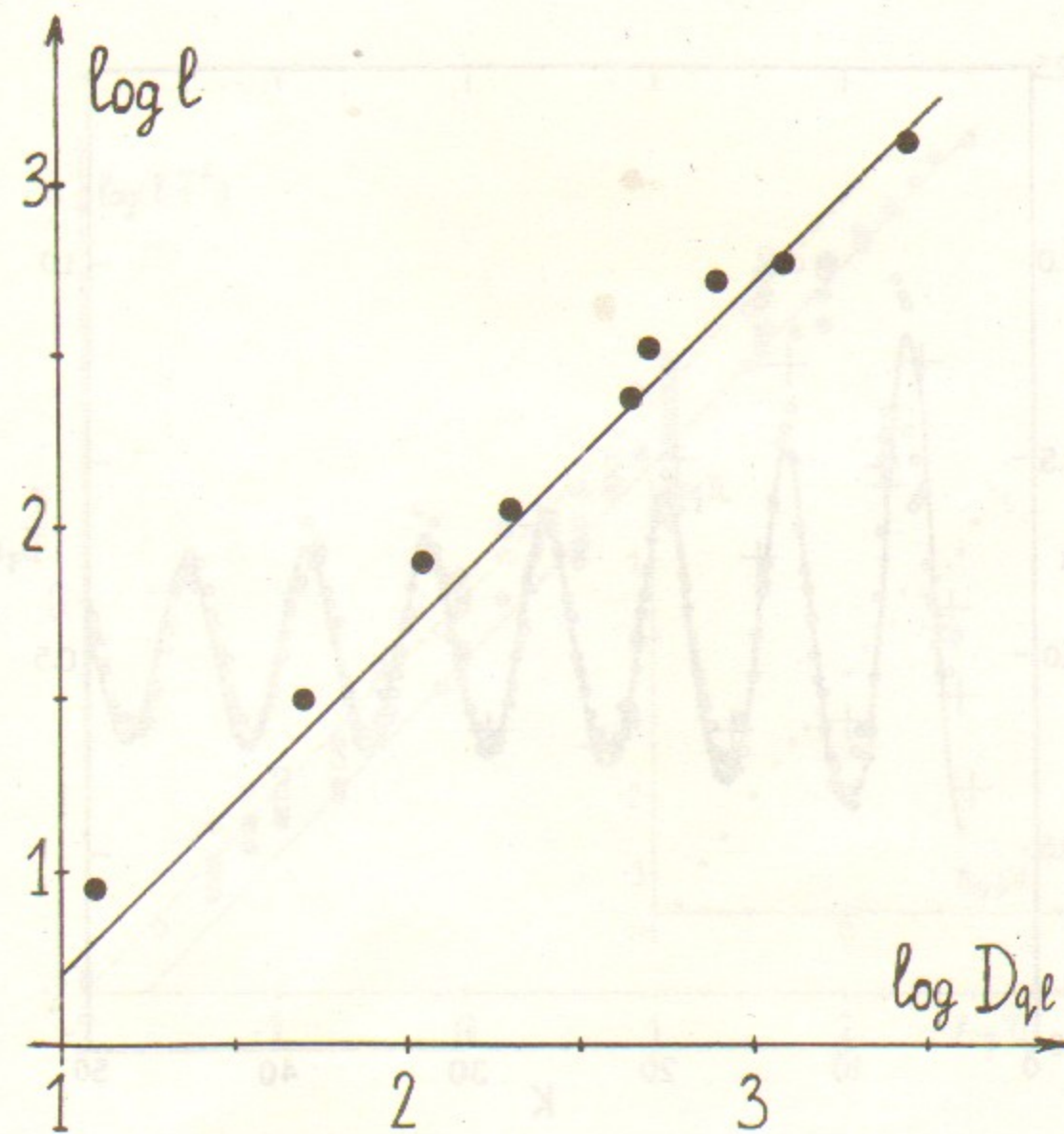


Рис.6

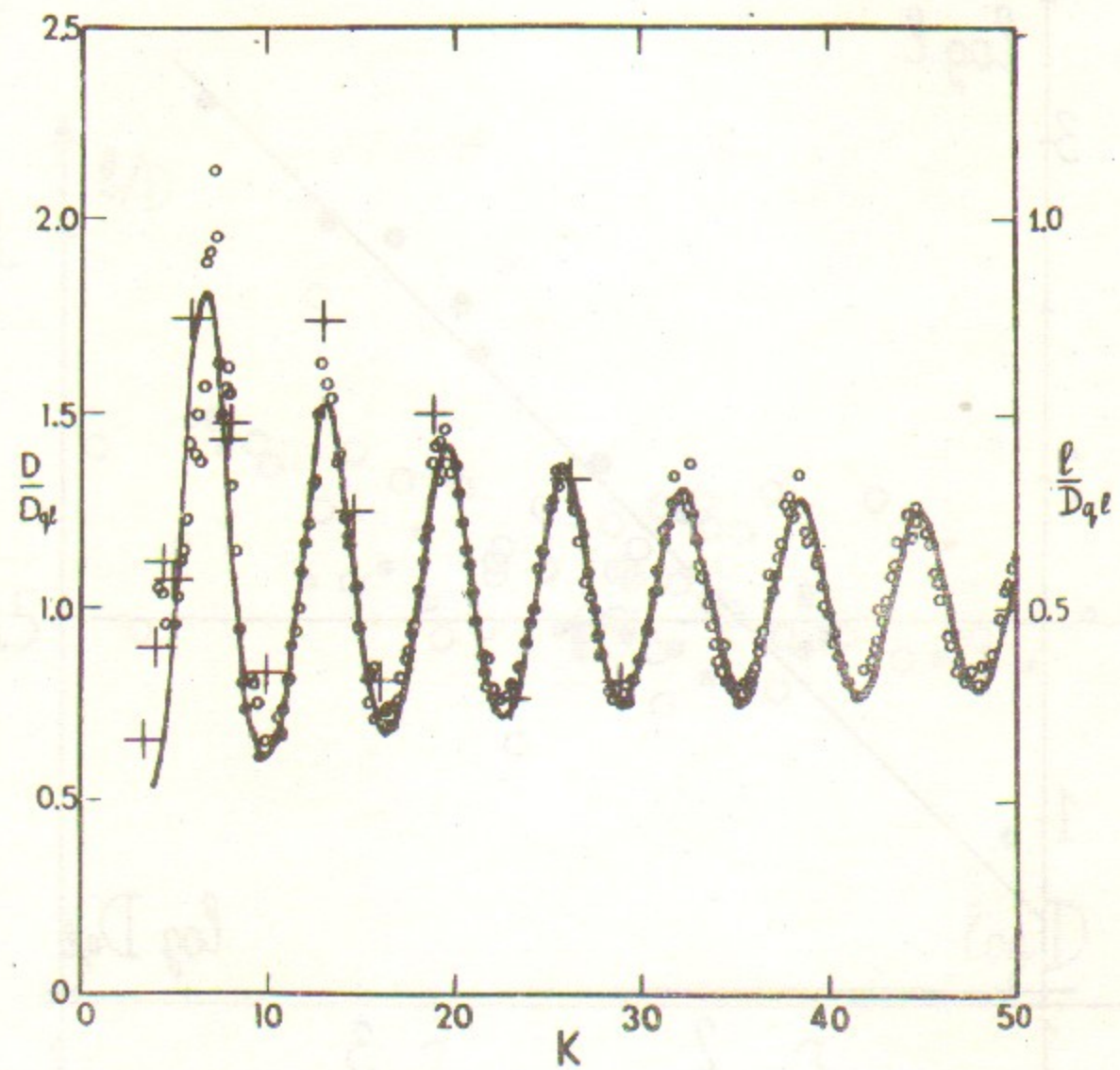


Рис. 7

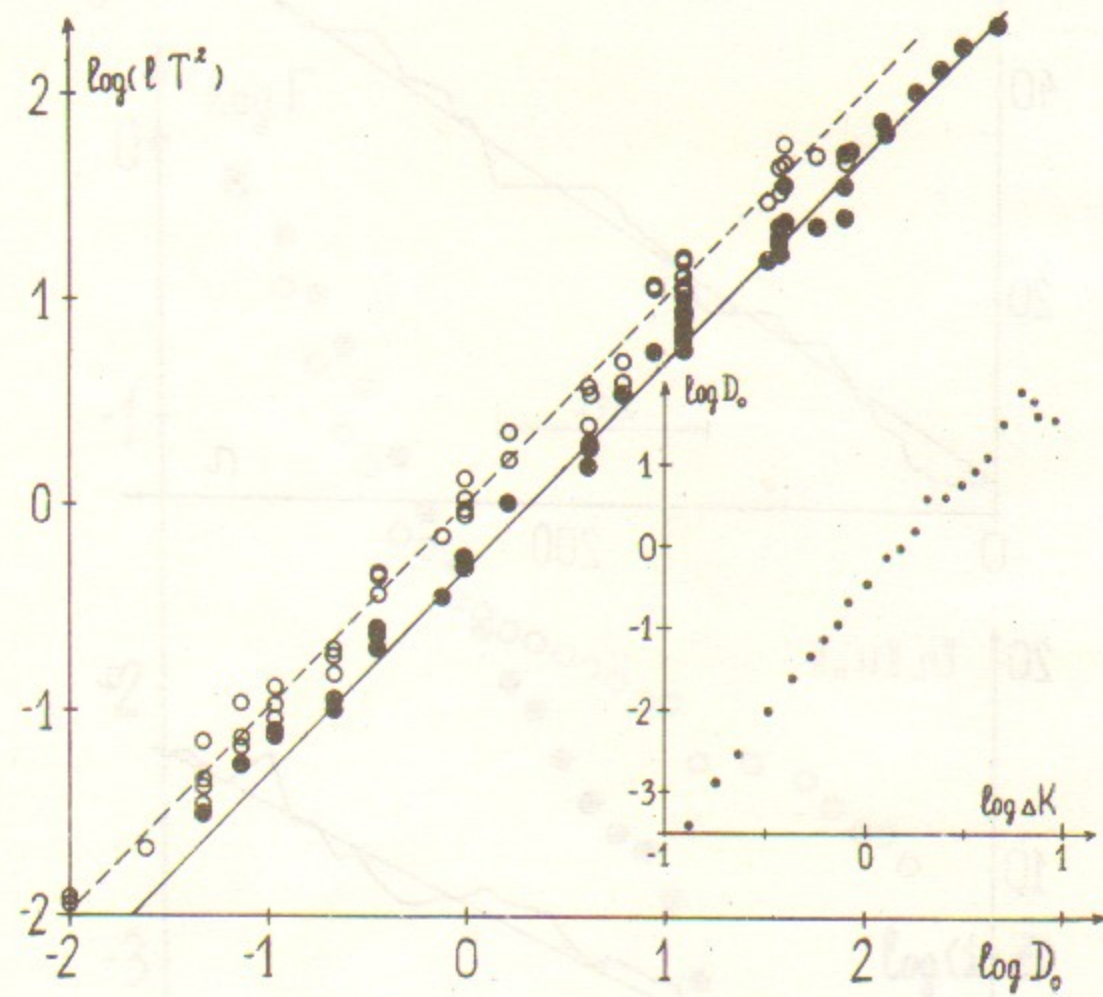


Рис. 8

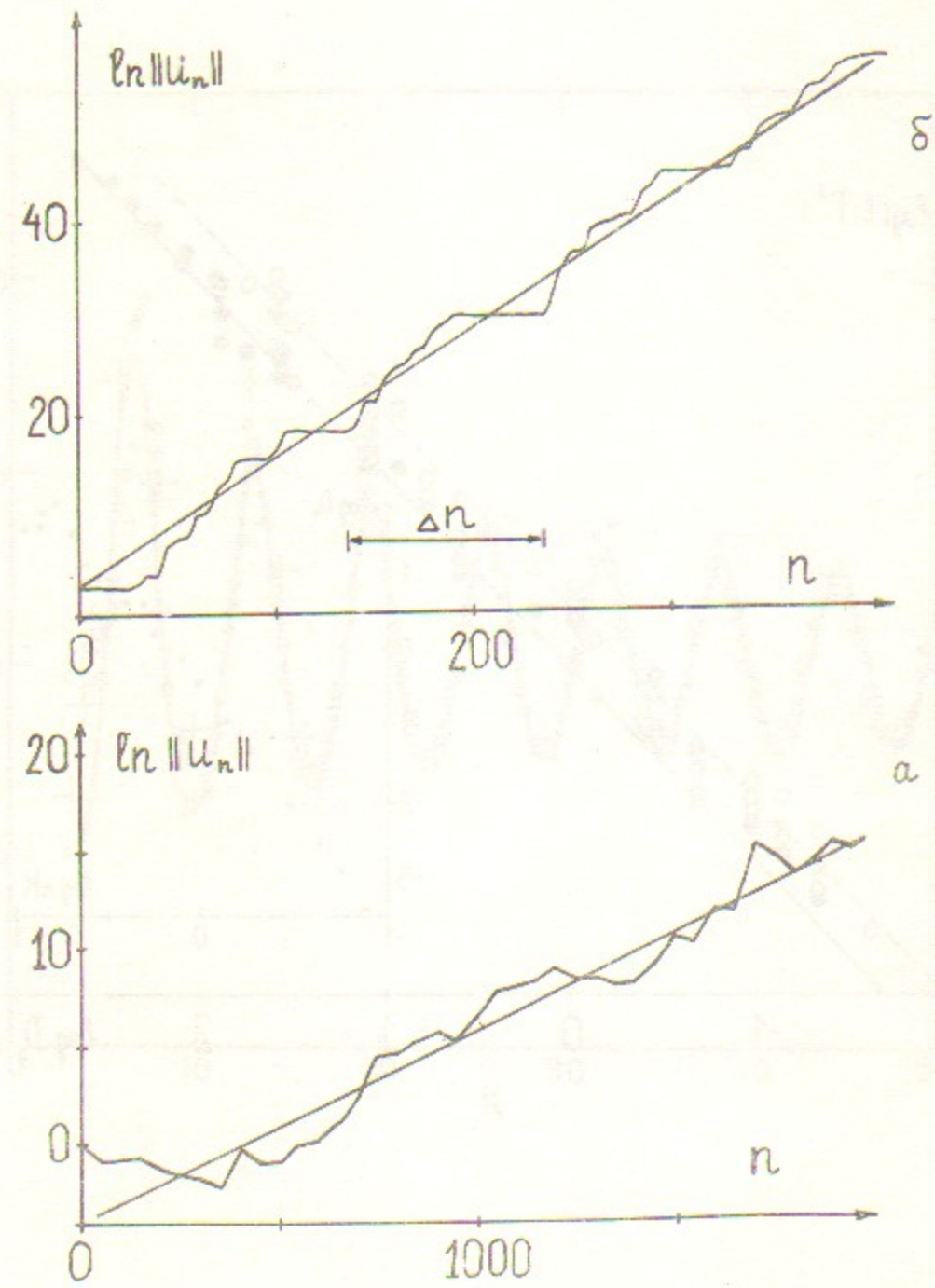


Рис. 9

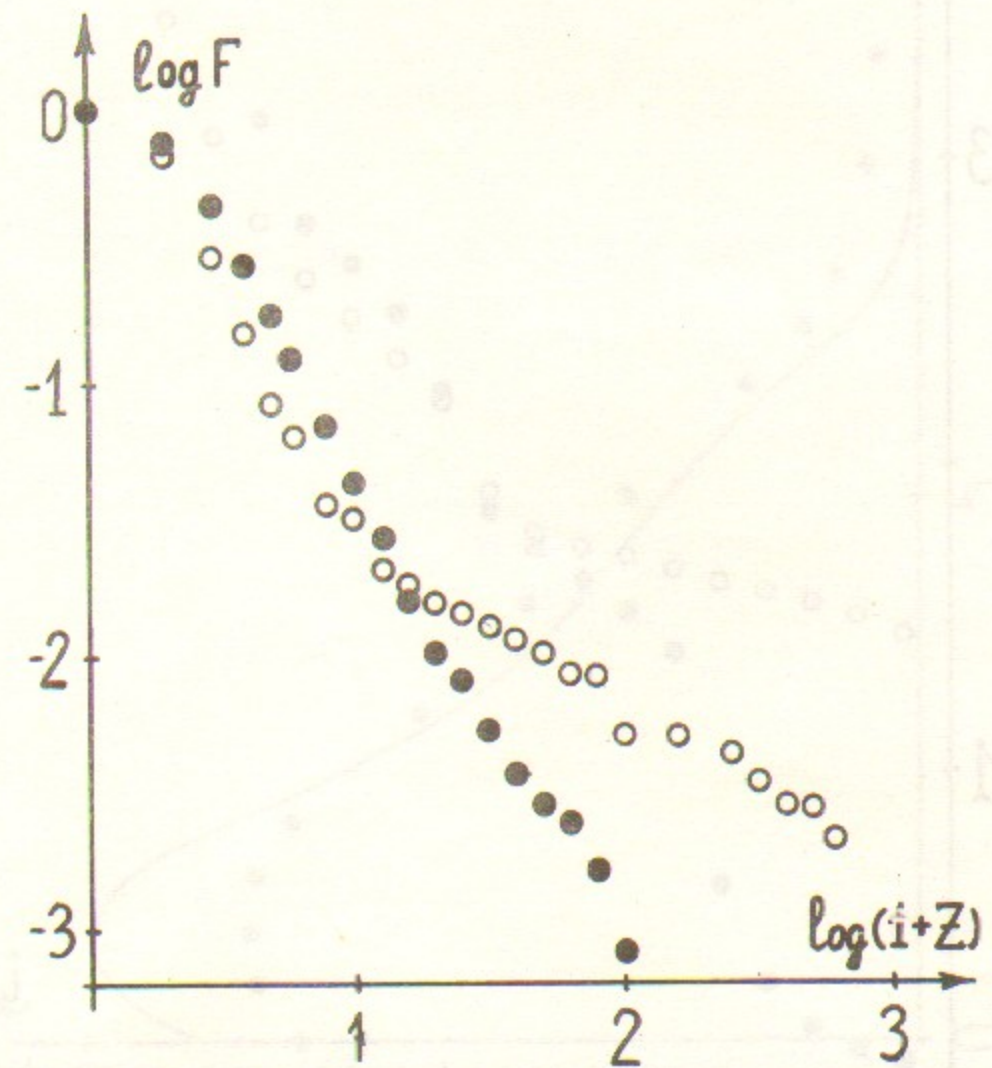


Рис. 10

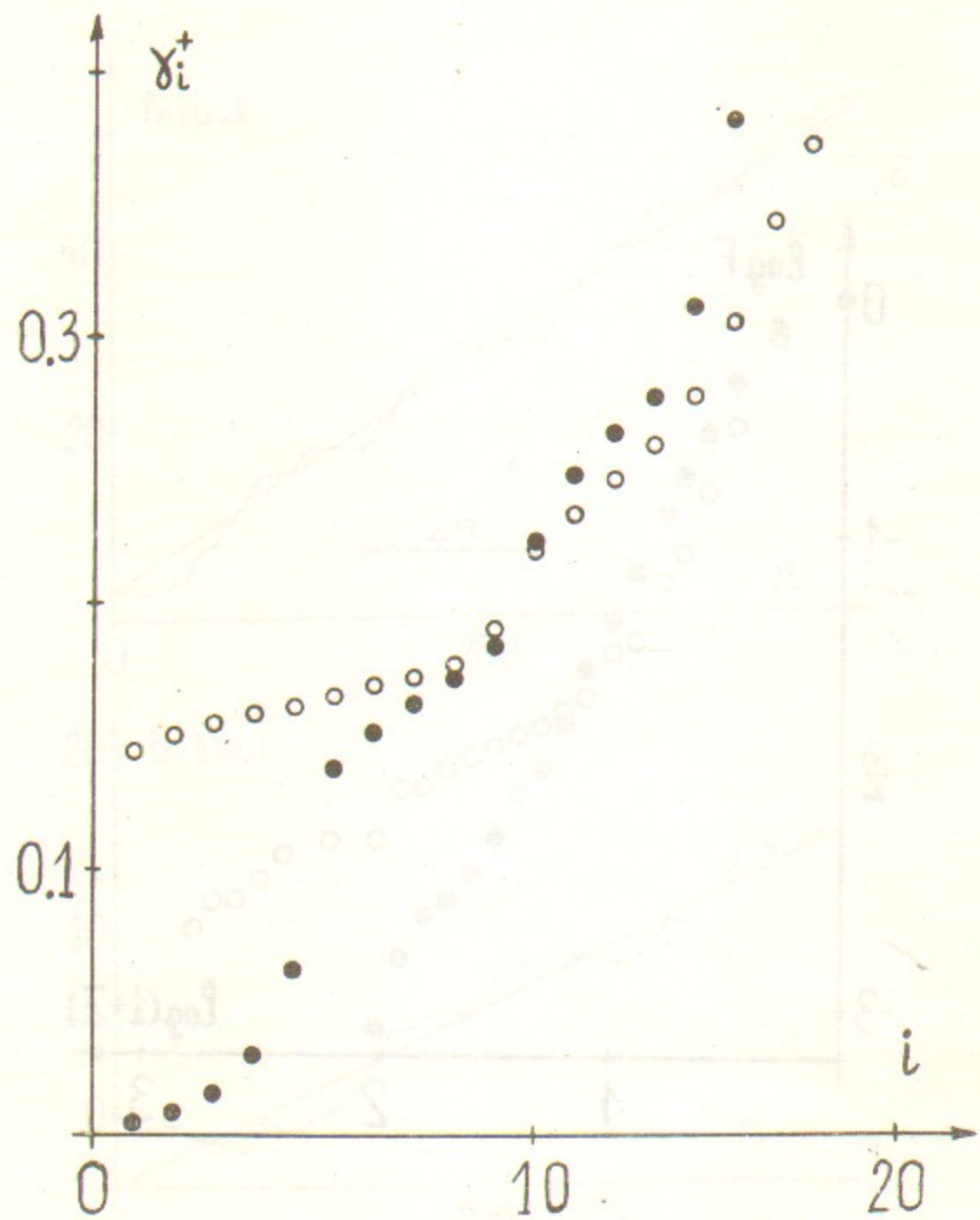


Рис.11

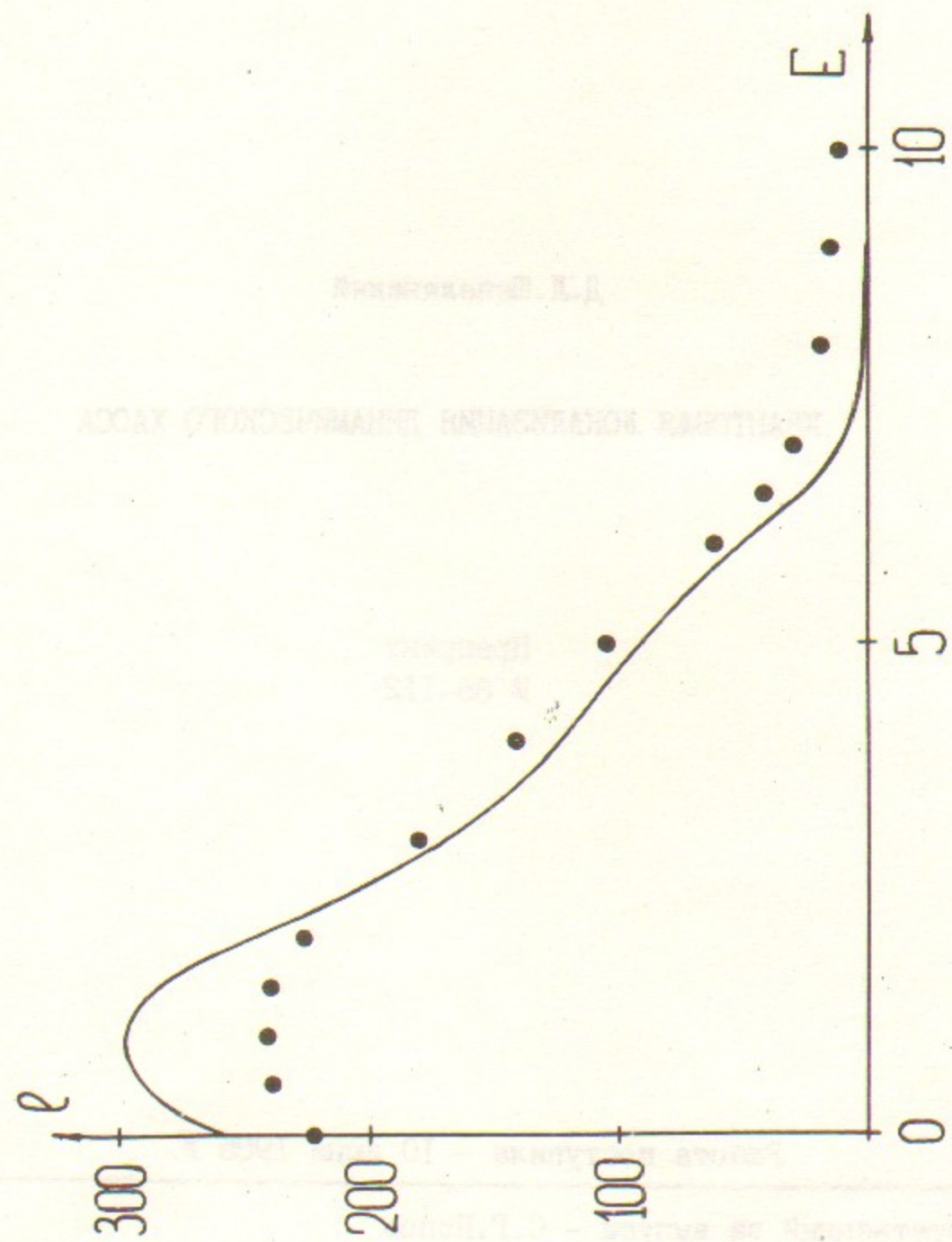


Рис.12

Д.Л.Шепелянский

КВАНТОВАЯ ЛОКАЛИЗАЦИЯ ДИНАМИЧЕСКОГО ХАОСА

Препринт
№ 85-112

Работа поступила - 10 июня 1985 г.

Ответственный за выпуск - С.Г.Попов

Подписано к печати 28.08-1985 г. МН 06716

Формат бумаги 60x90 1/16 Усл.2,6 печ.л., 2,1 учетно-изд.л.

Тираж 290 экз. Бесплатно. Заказ № 112.

Ротапринт ИЯФ СО АН СССР, г.Новосибирск, 90